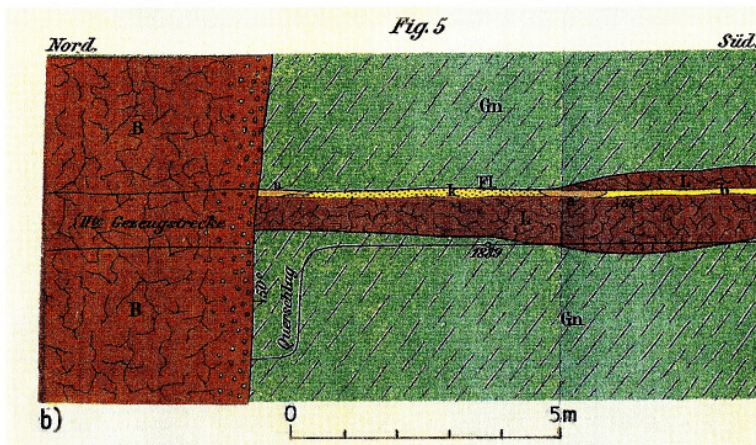
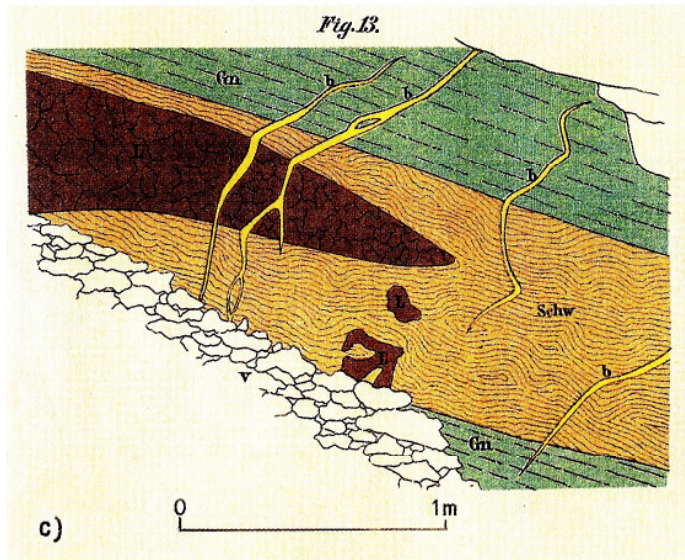


Sohlenrissausschnitt, Feldstrecke 12 m über der 2. Gezeugstrecke, vom Kunstschachtquerschlag 12 m in Süd. Gn – Gneisglimmerschiefer; l – Lamprophyr (Glimmer-Syenit); B – dichter Basalt mit Lamprophyr-Xenolithen; Fl – Neu Unverhofft Glück-Flachergang (zersetzter Gneis und Lamprophyr, Braunspar, Pyrit); Tr – liegendes Trum des Neu Unverhofft Glück-Flachen (taube Störung)



Sohlenrundriss, 2. Gezeugstrecke, ungefähr 566 m nördlich des Kunstschachtes (Schacht 34<sup>bis</sup>)

- Gn Gneisglimmerschiefer
- L feinkörniger graubrauner Lamprophyr
- B dichter Basalt mit Lamprophyr-Xenolithen
- Fl Neu Unverhofft Glück-Flachergang
- b rötlichweißer Baryt
- a Ausschram und Lette mit Pyrit
- k „Kobalt-Silbererz“-Formation, meist Pyrit



Stoßbild auf einem liegenden Gangtrum des Neu Unverhofft Glück-Flachen über der 2. Gezeugstrecke vom Gott beschert Glückler Kreuz in Nord

- Gn Gneisglimmerschiefer
- Schw Schwebendes aus gestauchtem, von Kohlenstoff durchdrungenen zersetzten Gneis
- L Lamprophyr, rötlichgrau, zersetzt
- b Gangtrümer, SW-streichend, aus fleischrotem Baryt (hmba) mit derbem Chloanthit und Argentit
- v Bergeversatz des Firnenstoßbaues („Förstenstoßbau“)

Abb. 135: Dokumentation der Altersbeziehungen zwischen Gesteinsgängen und hydrothermaler Mineralisation am Beispiel des Neu Unverhofft Glück-Flachen bei Niederschlag (aus: H. MÜLLER, Die Erzgänge des Annaberger Bergreviers, 1894, Tafel IV), dreiteilig

Abb. 136:  
 Überblick über das Bergbaure-  
 vier Bärenstein-Niederschlag  
 von der Halde des Schachtes  
 169 aus  
 1 – Halde, Schacht 111  
 2 – Halden der Schächte 34, 34b<sup>is</sup>  
 3 – Turm des Schachtes 282  
 4 – Halden des Schachtes 281  
 Foto: Schulz (1958)

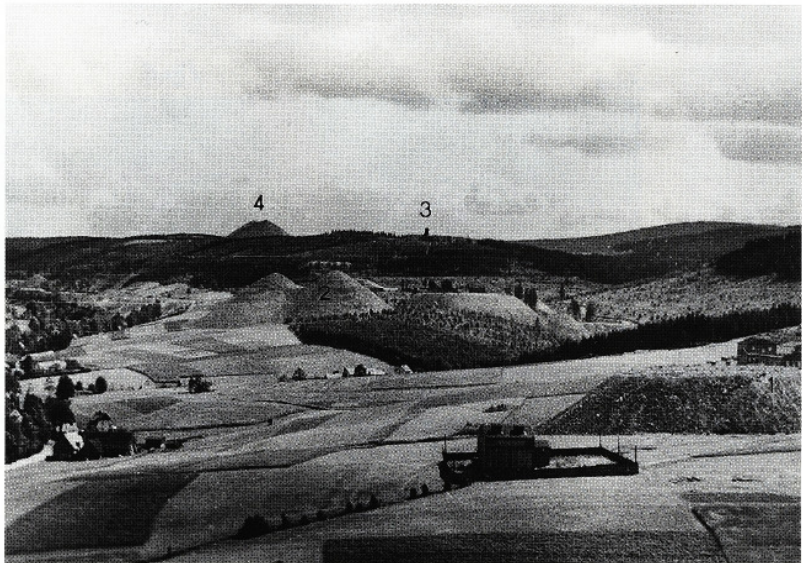


Abb. 137:  
 Blick von der Halde Stolln  
 216/127 gegen den Bärenstein  
 Spitzhalde des Schachtes 169  
 Foto: Kuschka (1966)



Abb. 138:  
 Gangstück auf der Halde des  
 Stolln 217  
 rechts Schergangstruktur mit Ba-  
 ryt, Fluorit und Chalcedon, in der  
 Mitte grobspätiger Baryt (hell), z.  
 T. von Fluorit (grau) verdrängt  
 Foto: Kuschka (1966)

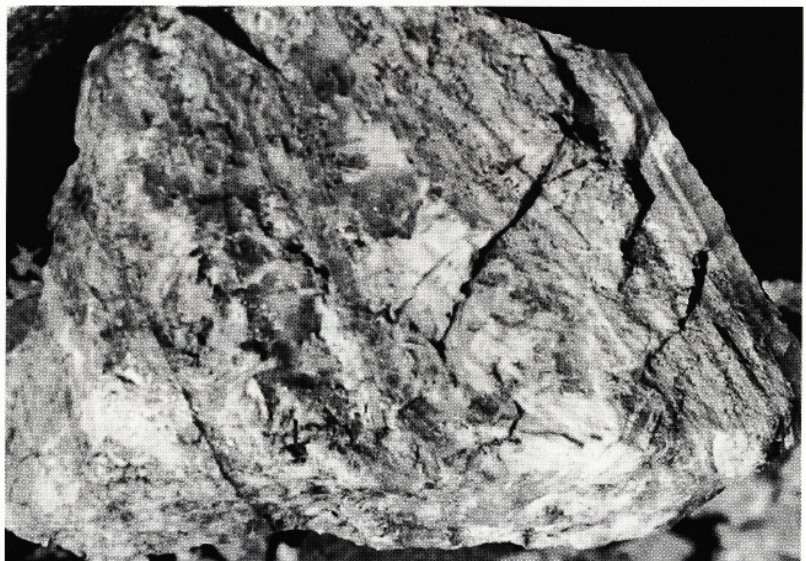


Abb. 139:  
 Barytgangtrum der Hauptgangzone, mit Lagenstruktur (hell); z. T. verdrängender Fluorit  
 Lagerstätte Niederschlag, Zentralteil, 1. Sohle, Firste in der Strecke 22 N  
 Foto: Schulz (1958) ca. 1 : 25



Abb. 140:  
 Baryt (hell) und Fluorit (dunkel) in Wechsellagerung durch Verdrängung  
 Lagerstätte Niederschlag, Zentralteil, 2. Sohle, Querschlag 213,  
 Foto: Schulz (1958) ca. 1 : 25



Abb. 141:  
 Baryt (hell) mit reichlich Fluorit (dunkel) als Verdränger; rechte Bildhälfte Fluorit. Trum der Fgr. flq, Lagen- und Kokardenstruktur  
 Lagerstätte Niederschlag, Zentralteil, Hauptgangzone, 3. Sohle, Gangstrecke 301, Ortsbrust  
 Foto: Schulz (1958) ca. 1 : 25



Abb. 142:  
Schlierentrümerstruktur mit  
Gesteinsalteration (Gneis)  
Lagerstätte Niederschlag, Haupt-  
gangzone, Bohrung F 124/76, bei  
407,7-408,7 m  
Foto: Kuschka (1988) ca. 1 : 1

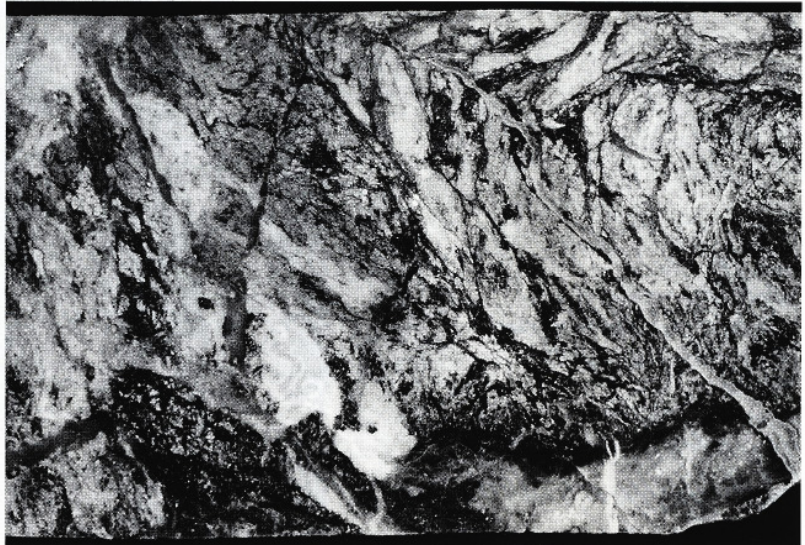


Abb. 143:  
Charakteristische Calcit-  
Skalenoeder-Negative nach  
Fgr. qu, in Hämatit-führendem  
derben grünlichen, Fluorit Fgr.  
flq,  
Lagerstätte Niederschlag, Zentral-  
teil, 2. Sohle, Gangstrecke 203  
Foto: Schulz (1958)

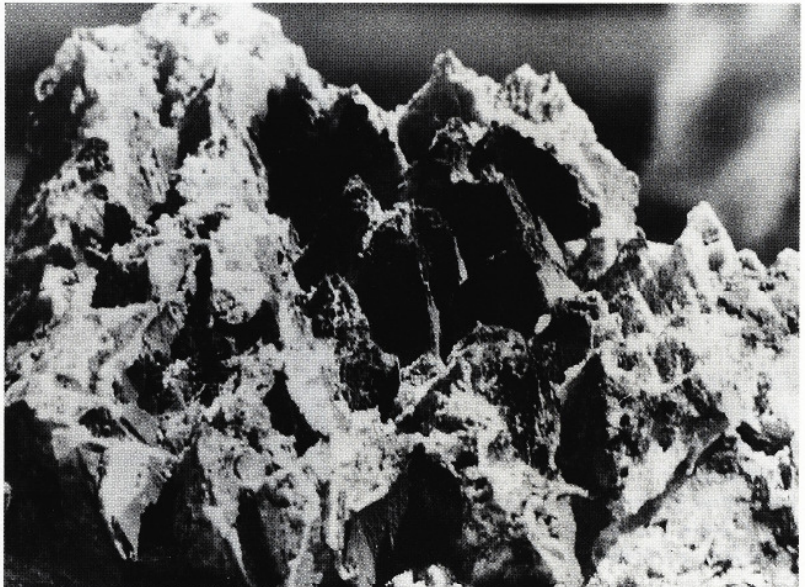


Abb. 144:  
Gangstück, Halde Schacht 34,  
Johannisstruktur/Neu Unver-  
hofft Glück. Fluoritklasten in  
Chalcedon, Fgr. flq, durch-  
schlagen von Paragenesen der  
Fgr. hmba und bafl (s. auch  
Abb. 60, Nachzeichnung)  
Foto: Kuschka (1968)



Abb. 145:

Fluorit mit Chalcedon verwachsen, Fgr. flq  
Lagerstätte Niederschlag, Zentralteil, Bohrung F 6/73, bei 427,6-427,65 m  
Foto: Kuschka (1988)

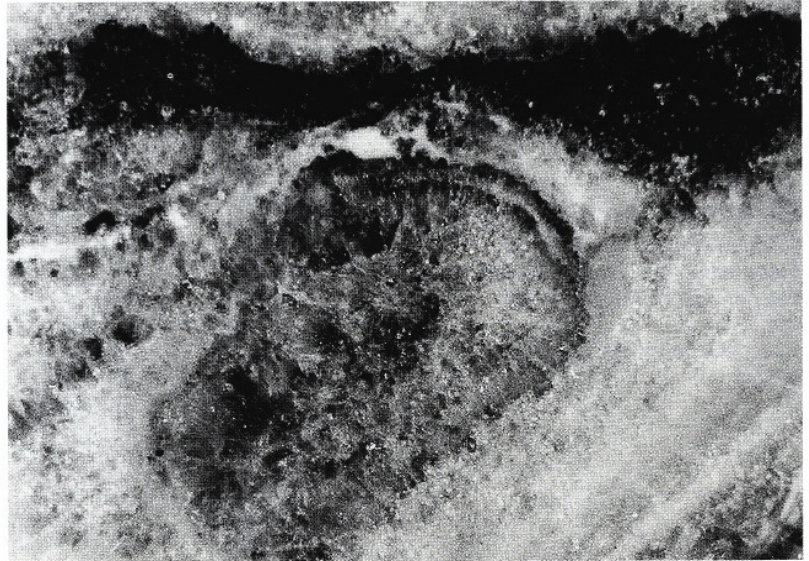


Abb. 146:

Kollomorph-radialfasriger Fluorit mit dünnen Chalcedonlagen eng verwachsen, Fgr. flq  
Lagerstätte Niederschlag, Zentralteil, Bohrung F 41/74, bei 260,9-261,9 m  
Foto: Kuschka (1988)

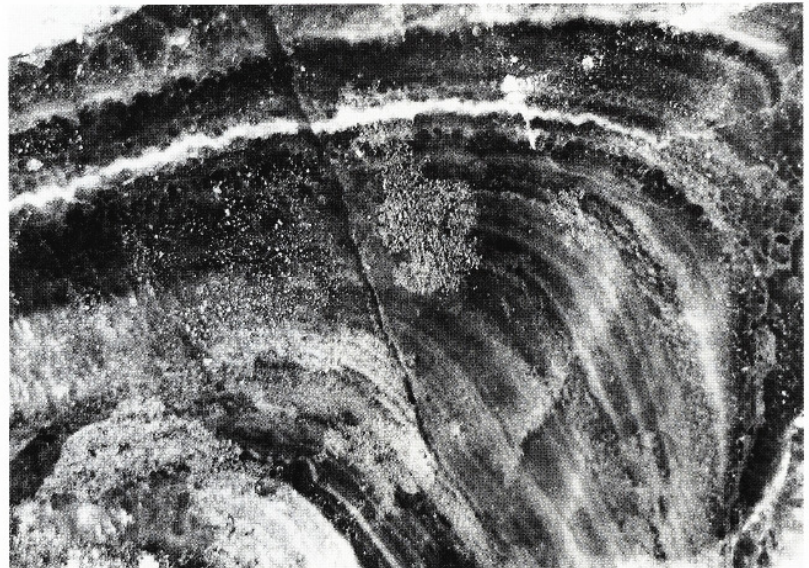


Abb. 147:

Kollomorph-radialfasriger und körniger Fluorit mit Polybrekzie von Chalcedon, alles Fgr. flq.  
Handstück, Halde Schacht 281, Lagerstätte Niederschlag, Zentralteil,  
Foto: Kuschka (1968)



Abb. 148:  
 Polybrekzie verschiedener  
 Chalcedonlagen der Fgr. flq  
 Lagerstätte Niederschlag, Zentral-  
 teil, Bohrung F 3/72, bei 417,20-  
 417,25 m  
 Foto: Kuschka (1988) etwas ver-  
 größert

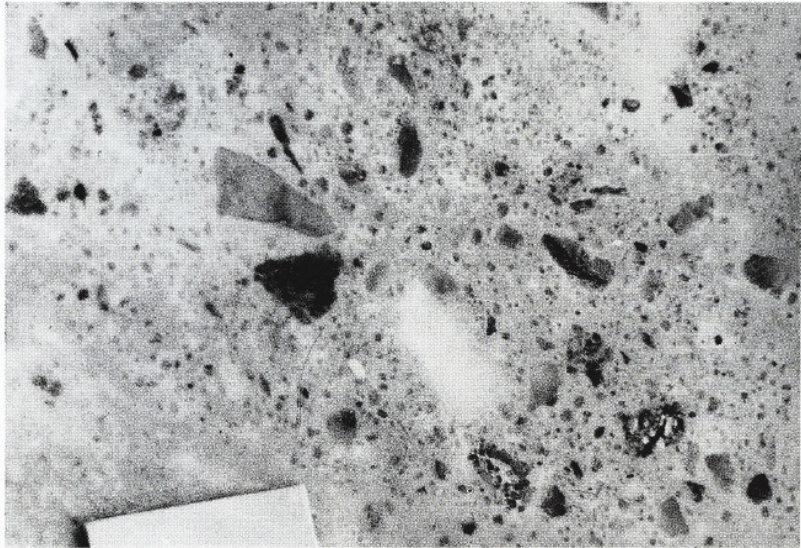


Abb. 149:  
 Typische Ausbildung der Fgr.  
 flq. Polybrekzie verschieden  
 farbigen Chalcedons von  
 feinkreuzigem (blassbräunli-  
 chem) und zuletzt blassgrünli-  
 chem Chalcedon  
 Lagerstätte Niederschlag, Zentral-  
 teil, Bohrung F 3/72, bei 417,25 m  
 Foto: Kuschka (1988) ca. 1 : 1

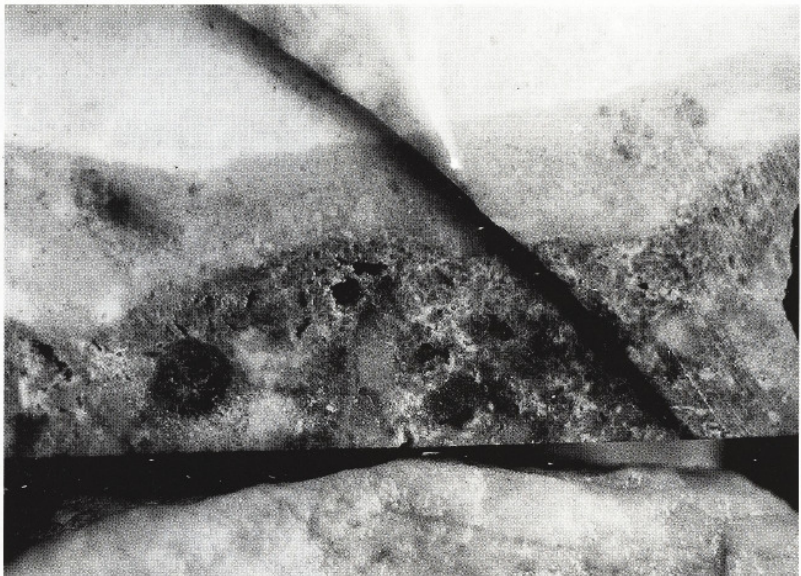
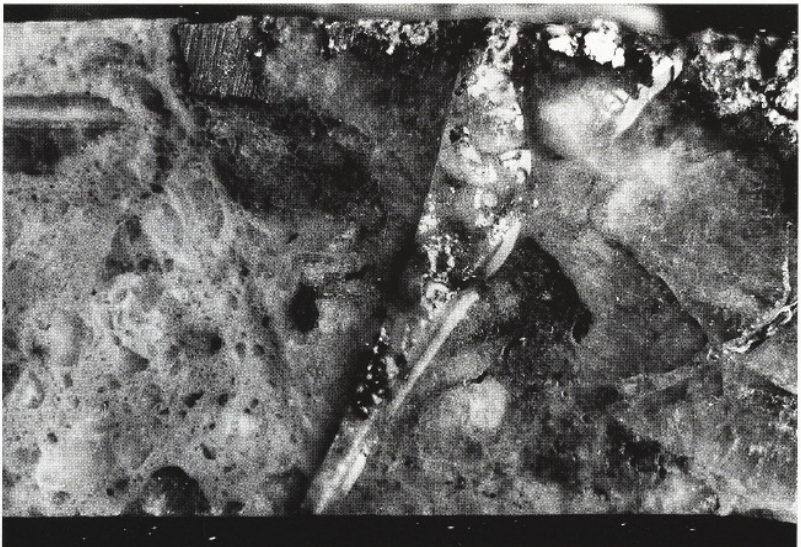
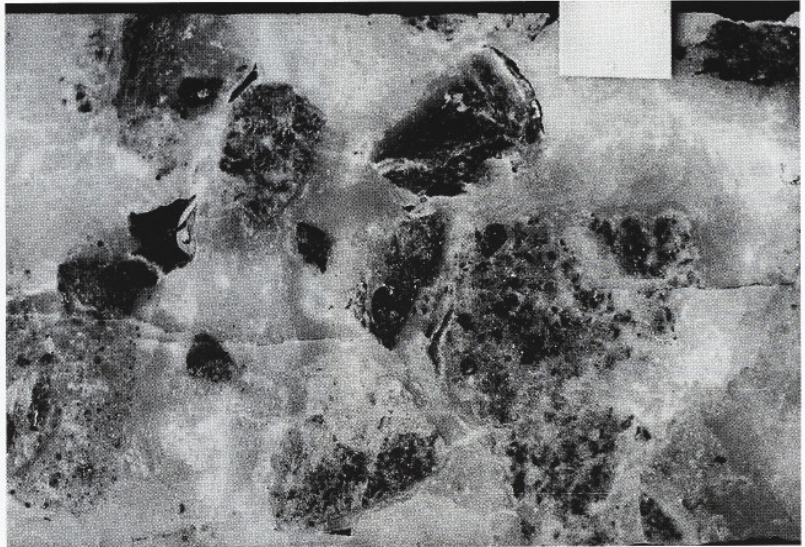


Abb. 150:  
 Polybrekzie der Fgr. flq (links),  
 durchschlagen von Sulfiden  
 (rechts oben) und Fluorit  
 (rechts) sowie Chalcedon,  
 Quarz der Fgr. bafl  
 Lagerstätte Niederschlag, Zentral-  
 teil, Bohrung F 3/72, bei 404,9-  
 405,7 m  
 Foto: Kuschka (1988) ca. 1 : 1



*Abb. 151:  
Verkittete Gangbrekzie der  
Fgr. flq, nahezu fluoritfrei mit  
verdrängendem Fluorit der  
Fgr. bafl (rechts unten), von  
nachfolgendem Chalcidon ver-  
drängt  
Lagerstätte Niederschlag, Zentral-  
teil, Bohrung F 89/75, 539,5-540,1  
m  
Foto: Kuschka (1988) etwas ver-  
größert*



*Abb. 152:  
Roter Hornstein mit Neben-  
gesteinsklasten in Schergang-  
struktur, Fgr. hmba  
Lagerstätte Niederschlag, Zentral-  
teil, Bohrung F 161/77, bei 496,5  
m  
Foto: Kuschka (1988) etwas ver-  
größert*



*Abb. 153:  
Roter Hornstein der Fgr. hmba  
mit beginnender Baryt-  
Abscheidung  
Lagerstätte Niederschlag, Zentral-  
teil, Bohrung F 81/73, 231,9-232,6  
m  
Foto: Kuschka (1988) etwas ver-  
größert*

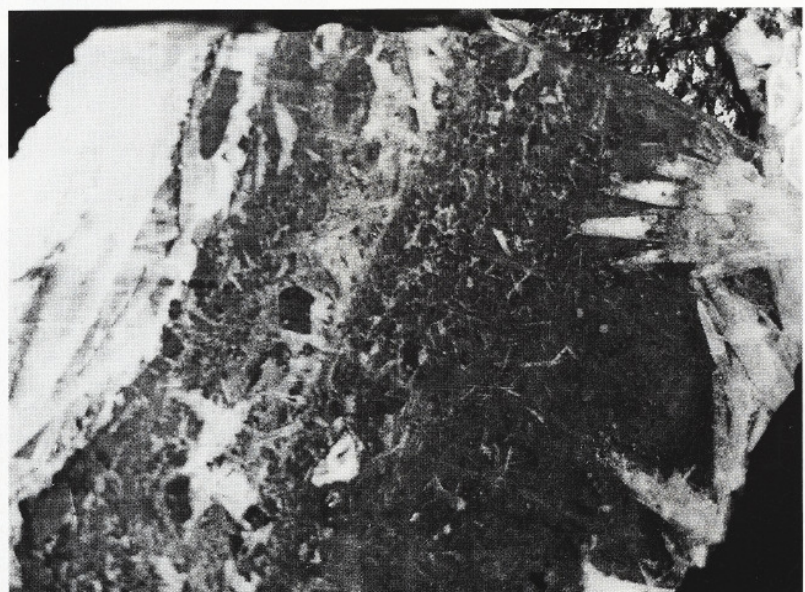


Abb. 154:

Rotbaryt, grobspätig, Fgr. hmba wird von Fluorit, danach von Chalcedon (beides Fgr. basf) verdrängt (dunkles grau)  
Lagerstätte Niederschlag, Zentralteil, Bohrung F 37/74, bei 188,5 m  
Foto: Kuschka (1988) gering vergrößert

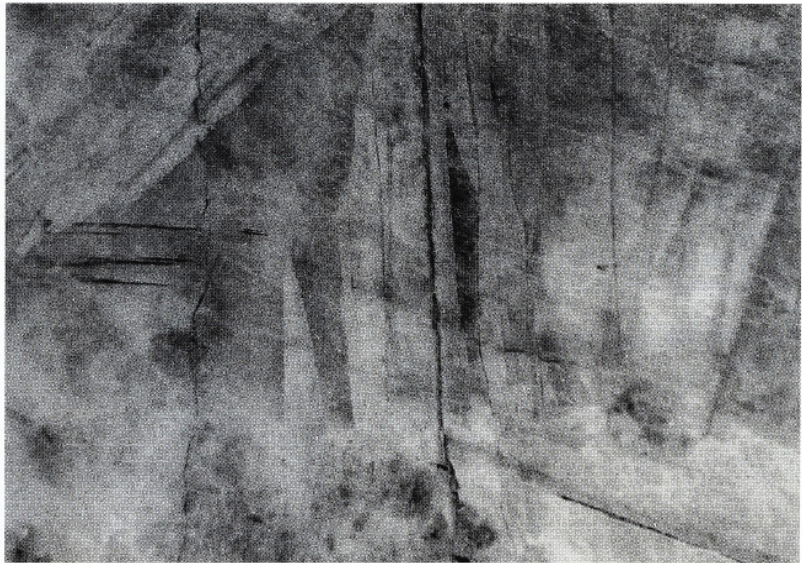


Abb. 155:

Rotbaryt, grobspätig, Fgr. hmba, wird von Fluorit und Chalcedon, Fgr. basf, verdrängt  
Lagerstätte Niederschlag, Zentralteil, Bohrung F 37/74, 194,5-195,1 m  
Foto: Kuschka (1988) geringer vergrößert

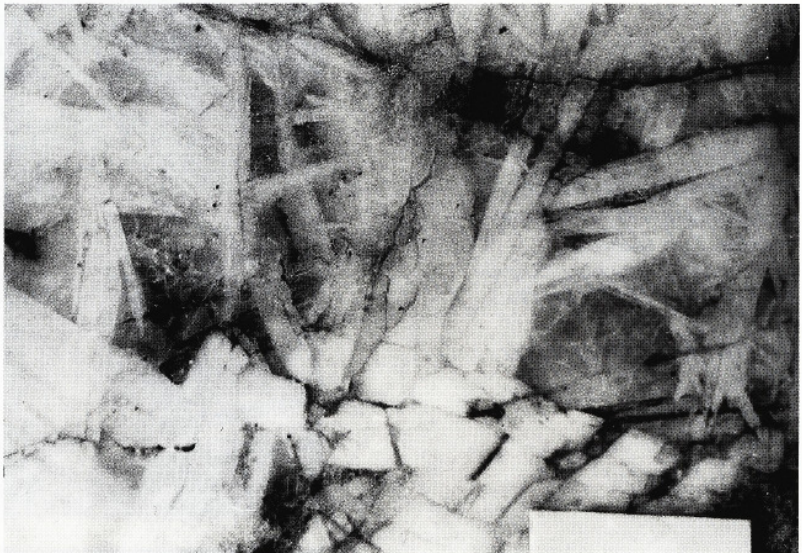


Abb. 156:

Grobspätiger Rotbaryt der Fgr. hmba, wird von Fluorit (dunkel) und danach von Chalcedon (mittelgrau), beides Fgr. basf, verdrängt.  
Lagerstätte Niederschlag, Zentralteil, Gangstück von der Halde des Stolln 217  
Foto: Kuschka (1988) ca. 1 : 1





Abb. 157:

Baryt der Fgr. bafl, 1. Folge  
wird von achatähnlich strukturiertem  
Chalcedon, Fgr. bafl, 3. Folge,  
verdrängt  
Lagerstätte Kovářská, Halde am  
Bahnhof  
Foto: Kuschka (1968) etwas vergrößert

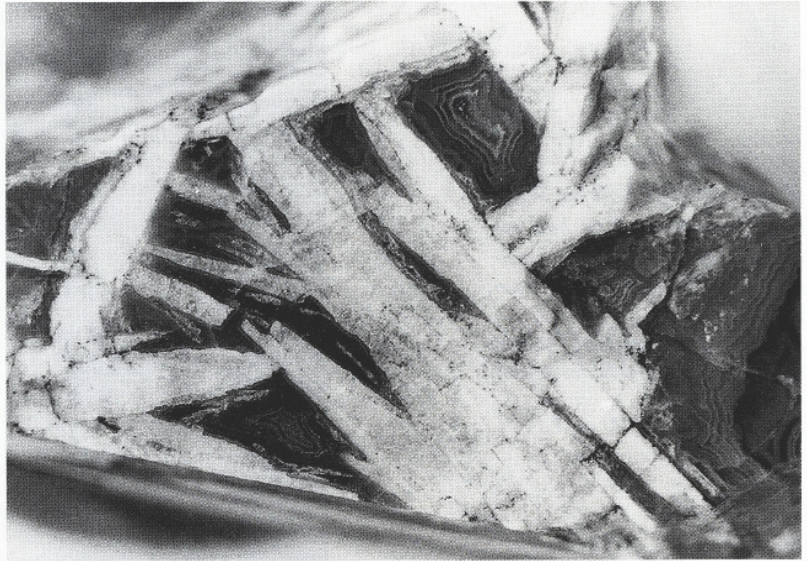


Abb. 158: wie Abb. 157

Foto: Kuschka (1968)



Abb. 159:

Fluorit der Fgr. bafl hat Weißbaryt,  
grobspätig, Fgr. bafl, bis auf  
Relikte verdrängt und dabei  
dessen Sulfide übernommen  
(dunkle Einsprenglinge)  
Lagerstätte Niederschlag, Zentralteil,  
Gangstück, Halde des Stolln  
217  
Foto: Kuschka (1968) ca. 1 : 1

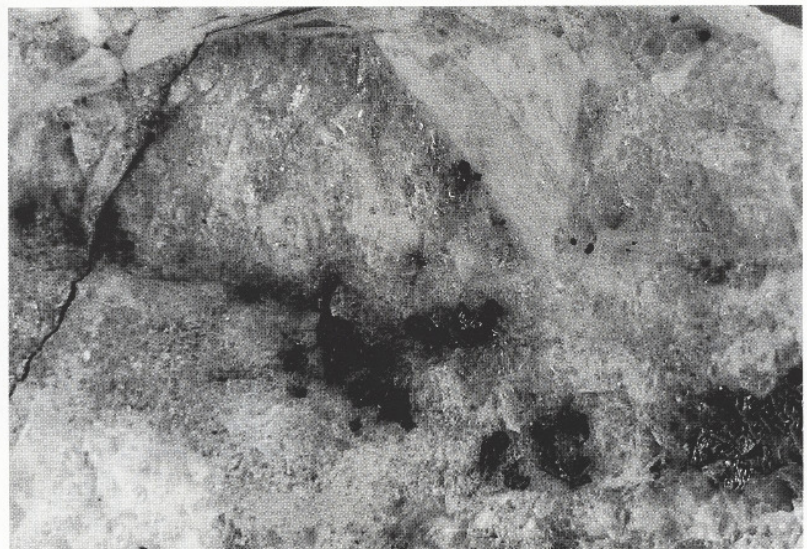


Abb. 160:

Fluorit der Fgr. bafl hat Weißbaryt, gebändert, Fgr. bafl verdrängt und dabei dessen Sulfide (dunkle Partikel) übernommen

Lagerstätte Niederschlag, Zentralteil, Gangstück, Halde des Schachtes 282

Foto: Kuschka (1968) ca. 1 : 1

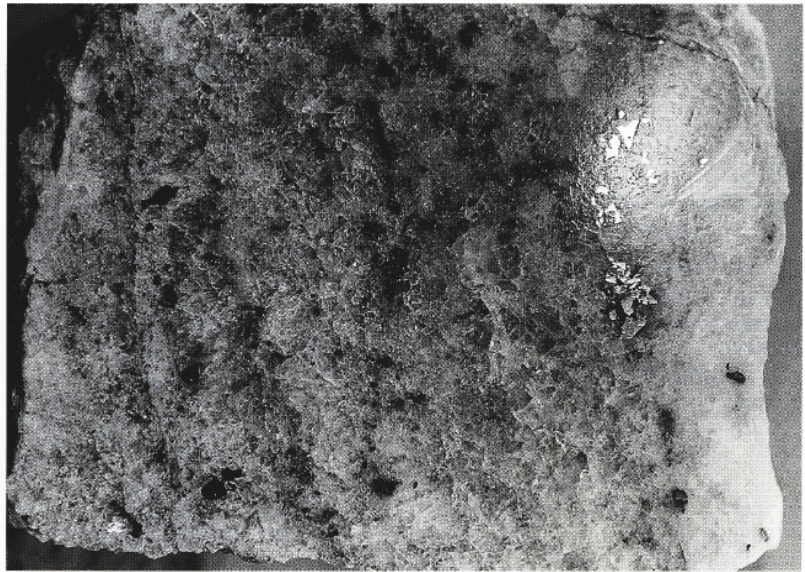


Abb. 161:

Kollomorph-radialstrahliger Fluorit der Fgr. sfkru verkittet vulkanische Gneisbrekzie

Lagerstätte Niederschlag, Zentralteil, 1. Sohle, Gangstrecke 7801

Foto: Schulz (1958) ca. 2 : 1

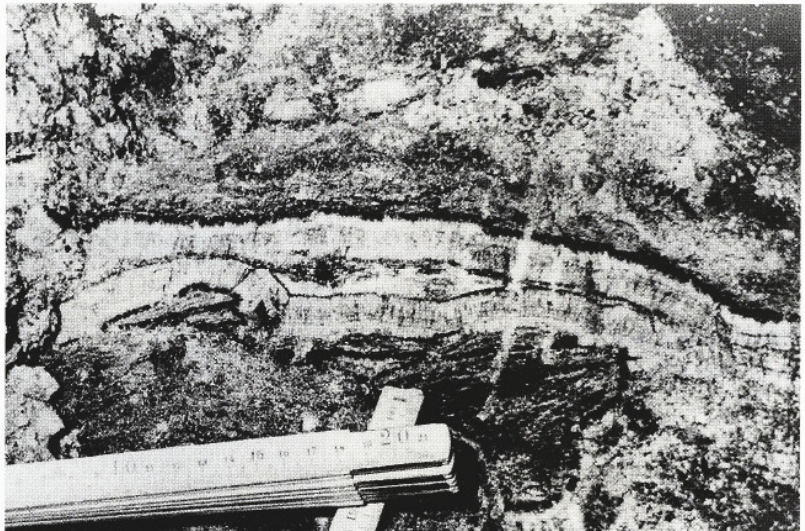


Abb. 162:

Detailaufnahme von kollomorph-radialfasrigem Fluorit, Fgr. sfkru

Lagerstätte Niederschlag, Zentralteil, 1. Sohle, Gangstrecke 7801

Foto: Schulz (1958) etwas vergrößert

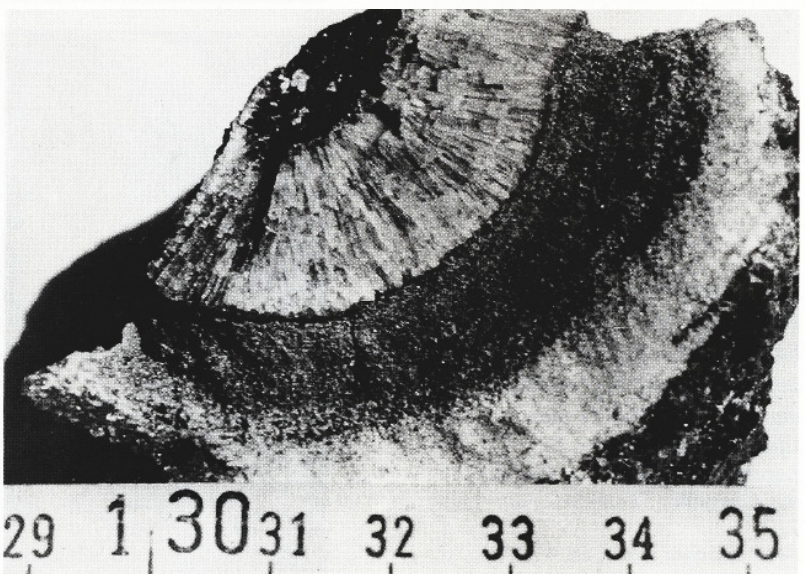


Abb. 163:

Fluorit, Fgr. flq, pflasterartig  
rekristallisiert, ausgezeichnete  
Spaltbarkeit nach (111); eine  
Quarzlage lässt die reliktsche  
Gelstruktur hervortreten  
Lagerstätte Niederschlag, Zentral-  
teil, Dünmschliff 1251; ca.  
60 : 1, gekreuzte Nicols  
Foto: Schulz (1958)

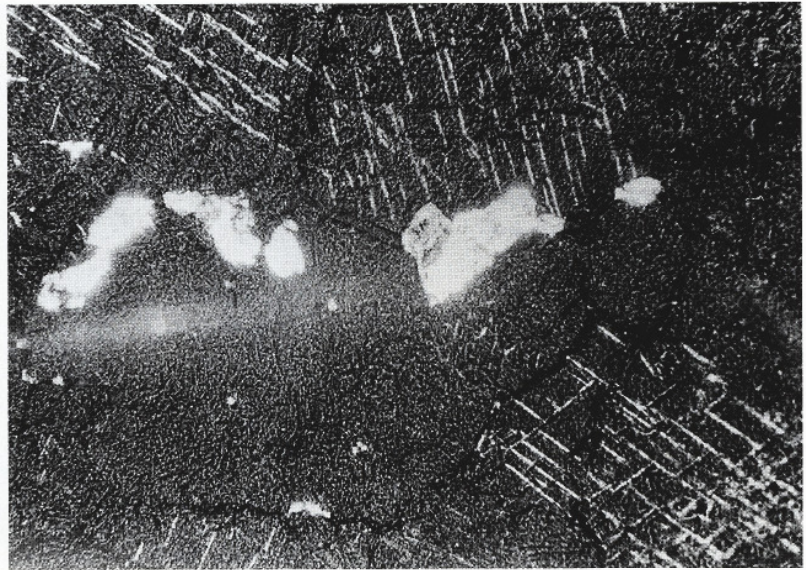


Abb. 164:

Fluorit der Fgr. flq, pflasterar-  
tig rekristallisiert, nach gel-  
ähnlicher Abscheidung, mit  
zahllosen winzigen  
Quarzkriställchen, zeigt die  
feine Verwachsung beider Mi-  
nerale  
Lagerstätte Niederschlag, Zentral-  
teil, Dünmschliff 1255;  
ca. 60 : 1, gekreuzte Nicols  
Foto: Schulz (1958)

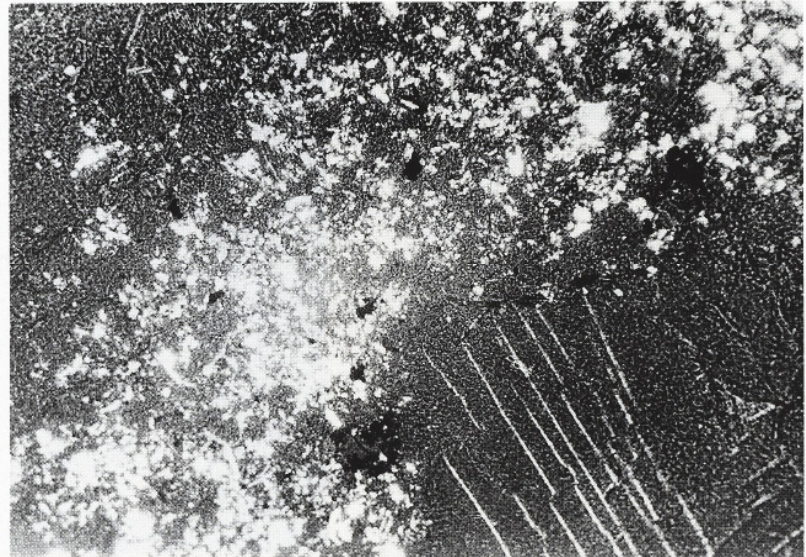


Abb. 165:

Chalcedon der Fgr. flq radial-  
fasrig-kollomorph  
Lagerstätte Niederschlag, Zentral-  
teil, Dünmschliff 1245, ca. 60 : 1  
Foto: Schulz (1958)

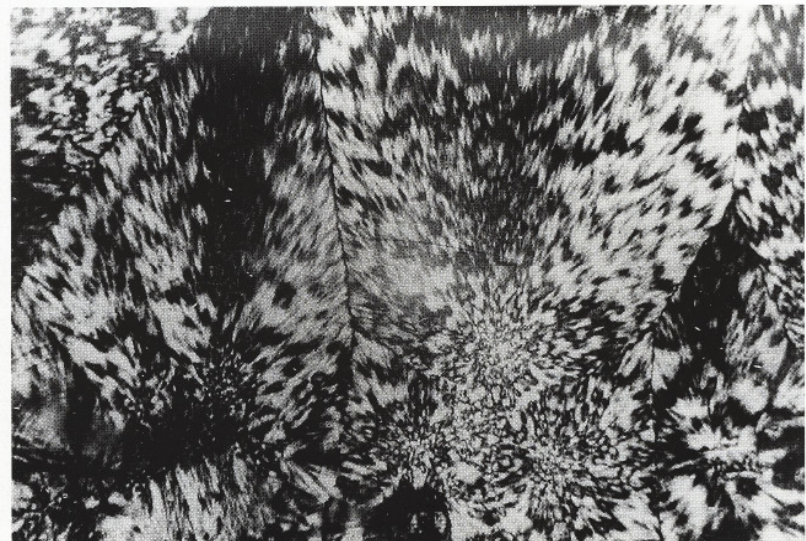


Abb. 166:

Idiomorpher Fluorit (dunkelgrau oben und rechts) von konzentrischem Chalcedon leicht korrodiert, davon ausgehend Neubildung von Hämatit-Tafeln, Fgr. flq  
Lagerstätte Niederschlag, Zentralteil, Anschliff A 4034; 135 : 1  
Foto: Schulz (1958)

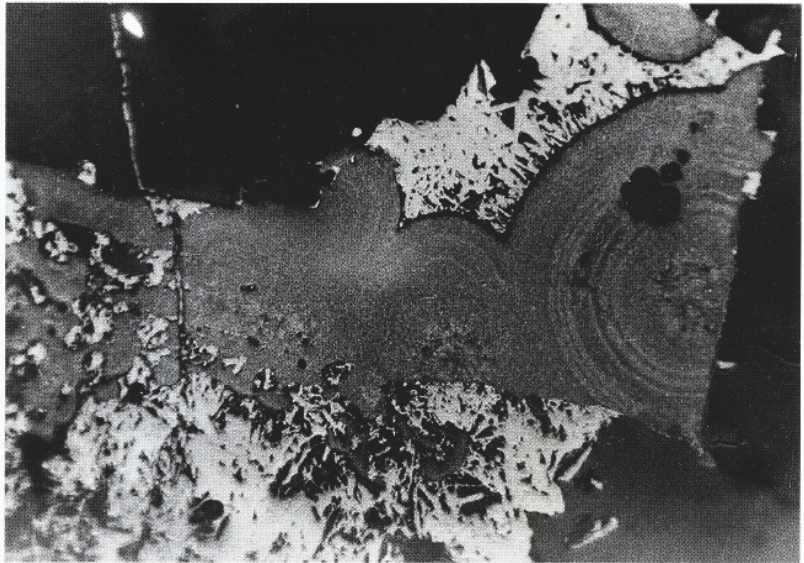


Abb. 167:

Baryttafeln, Fgr. hmba, grobspätig, werden zunächst von Fluorit, Fgr. bafl (Metakriste) und dann von Quarz (helle Partien) verdrängt  
Lagerstätte Niederschlag, Halde Schacht 282, Dünnschliff; 30 : 1  
Foto: Kuschka (1968)

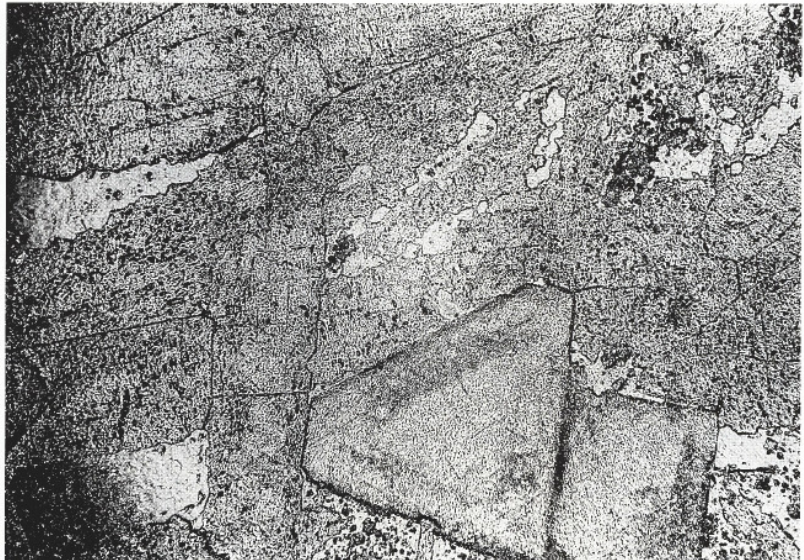


Abb. 168:

Baryt, Fgr. hmba, grobspätig, wird von Chalcedon, Fgr. bafl, weitgehend verdrängt  
Lagerstätte Niederschlag, Halde Schacht 282, Dünnschliff; 30 : 1  
Foto: Kuschka (1968)

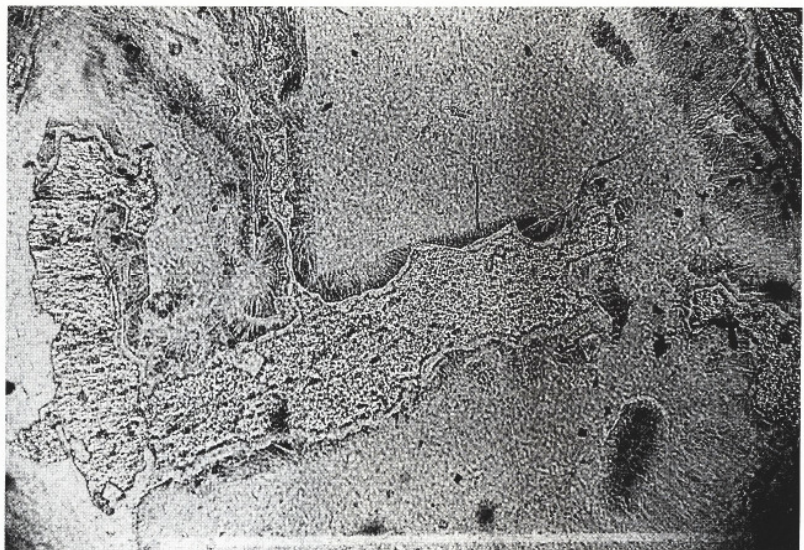


Abb. 169:

Baryt, grobspätig, Fgr. hmba,  
wird von Chalcedon der Fgr.  
bafl, 3. Folge verdrängt  
Lagerstätte Niederschlag, Halde  
Schacht 282, Dümschliff; 30 : 1  
Foto: Kuschka (1968)

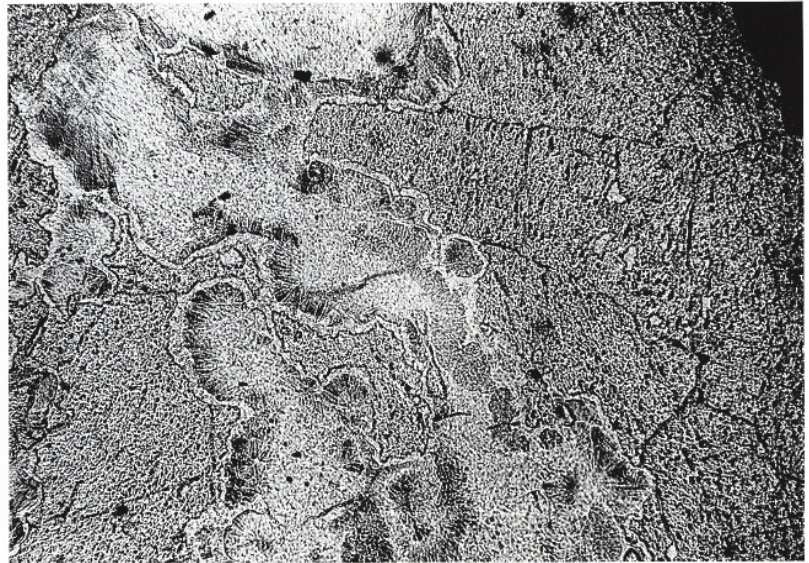


Abb. 170:

gleicher Ausschnitt wie Abb.  
169.; gekreuzte Nicols, ca. 30 : 1  
Foto: Kuschka (1968)

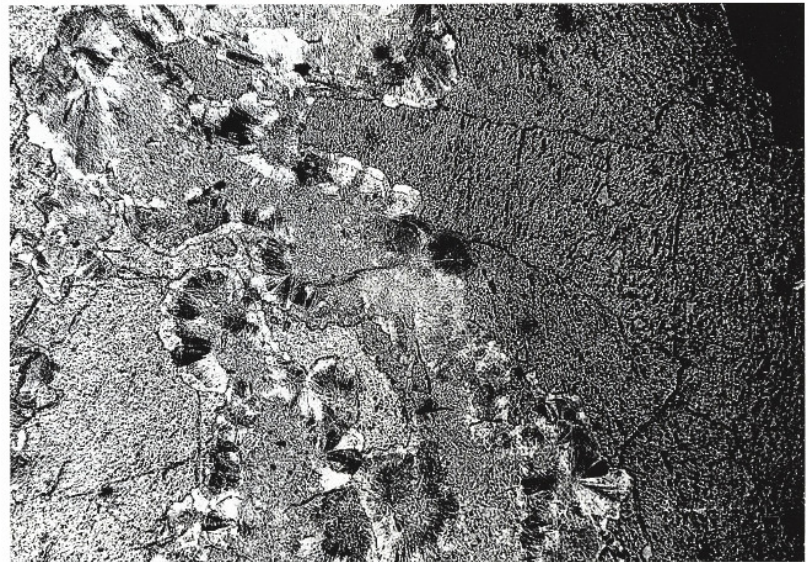


Abb. 171:

Verdrängender Quarz, 3. Folge  
der Fgr. bafl, z. T. mit Relikt-  
strukturen nach verdrängtem  
Baryt, sprosst in Fluorit, Fgr.  
bafl, 2. Folge, hinein  
Lagerstätte Niederschlag, Zentral-  
teil, Dümschliff; 30 : 1  
Foto: Kuschka (1968)

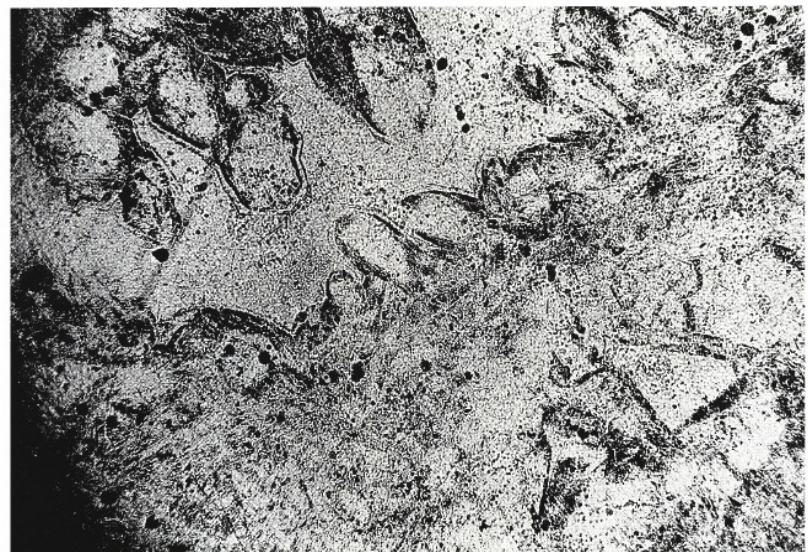


Abb. 172:

Fluoritkristalle (kubisch) in Quarz-Matrix, mit Chalcedon (dunkel), Fgr. basf, durchwachsen von strahligen Aggregaten von weißem Bismuthinit, Fgr. gas

Lagerstätte Niederschlag, Zentralteil, Anschliff A 4044; ca. 60 : 1  
Foto: Schulz (1958)

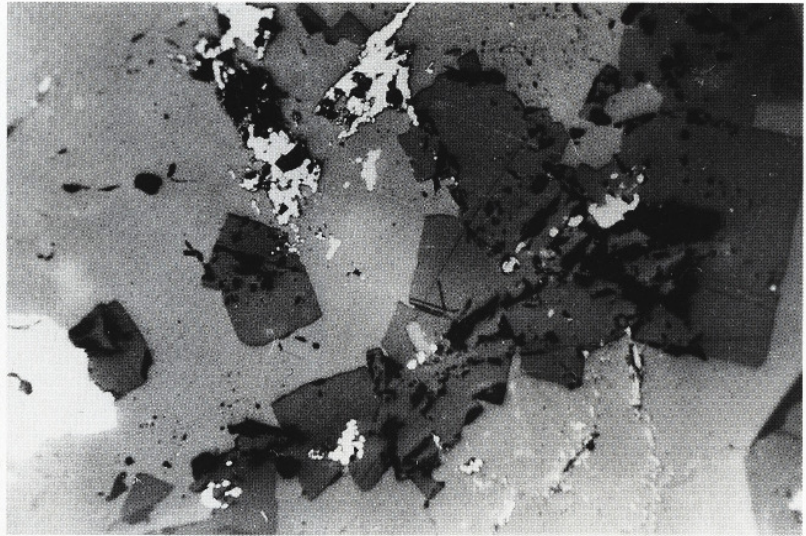


Abb. 173:

Kristallskelette von gediegenem Silber, z. T. in Argentit überführt, Fgr. gas

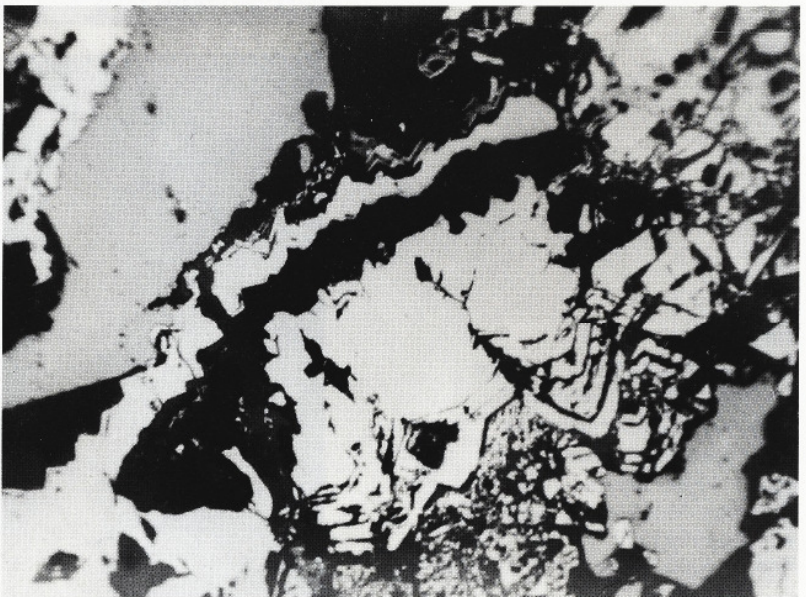
Lagerstätte Niederschlag, Zentralteil, Anschliff A 4012; ca. 60 : 1  
Foto: Schulz (1958)



Abb. 174:

Skutterudit, Fgr. gas, mit Zonarbildung von Argentit korrodiert

Lagerstätte Niederschlag, Zentralteil, Anschliff A 4006; ca. 125 : 1  
Foto: Schulz (1958)





Die geologischen Druckschriften des Sächsischen Landesamtes für Umwelt und Geologie befinden sich ab 2003 im Vertrieb der Sächsischen Druck- und Verlagshaus AG, Tharandter Straße 23-27, D-01159 Dresden, E-Mail: [Versand@sdv.de](mailto:Versand@sdv.de); Fax: 0351/4203186 (Versand).

## Reihe Bergbau in Sachsen

Bisher erschienen:

### **Band 1 (1994)**

**HÖSEL, G. et al.: Das Zinnerz-Lagerstättengebiet Ehrenfriedersdorf/Erzgebirge.** - 189 Seiten, 132 Abbildungen, 40 Tabellen, 1 geologische Karte (RGK 2) und 5 Sohlenrisse als Anlagen. € 19,68

### **Band 2 (1996)**

**KUSCHKA, E. HAHN, W.: Flußspatlagerstätten des Südwestvogtlandes Schönbrunn, Bösenbrunn, Wiedersberg.** - 283 Seiten, 204 Abbildungen, zahlreiche Tabellen und Anlagen, 3 Kartenbeilagen. € 27,61

### **Band 3 (1997)**

**HÖSEL, G., TISCHENDORF, G. & WASTERACK, J. et al.: Erläuterungen zur Karte „Mineralische Rohstoffe Erzgebirge - Vogtland/Krušné hory 1 : 100 000“, Karte 2: Metalle, Fluorit/Baryt - Verbreitung und Auswirkungen auf die Umwelt.** - 144 Seiten, 54 Abbildungen, 8 Tabellen € 12,78

### **Band 4 (1997)**

**HÖSEL, G. et al.: Das Lagerstättengebiet Geyer.** -112 Seiten, 110 Abbildungen, 24 Tabellen € 12,78

### **Band 5(1998)**

**ILGNER, E.-M. & HAHN, W.: Die Schwerspatlagerstätte Brunndöbra und das Schwerspatvorkommen Scharrtanne im Ostvogtland/Westerzgebirge.** - 120 Seiten, 63 Abbildungen, 23 Tabellen € 12,78

### **Band 6(2002)**

**KUSCHKA, E.: - Die Uranerz-Baryt-Fluorit-Lagerstätte Niederschlag bei Bärenstein, nebst benachbarten Erzvorkommen.** - dieser Band €12,50

### **Band 7 (2000)**

**TONNDORF, H.: Die Uranlagerstätte Königstein.**-208 Seiten, 117 Abbildung, 28 Tabellen € 12,78

### **Band 8 (2002)**

**HÖSEL, G. et al: Die polymetallische Skarnlagerstätte Pöhla-Globenstein.** - 143 Seiten, 43 Abb., 36 Tab., 29 Tafeln € 12,50

### **Band 9 (2002)**

**WEINHOLD G.: Die Zinnlagerstätte Altenberg.** -273 Seiten, 190 Abb., 50 Tab., 13 Beilagen € 12,50



## Reihe Geoprofil

Bisher erschienen:

### **Heft 1 (1989)**

**Autorenkollektiv: Beiträge zum Niederlausitzer Braunkohlenrevier.** - 64 Seiten, zahlreiche Abbildungen, 3 Beilagen. € 12,27

### **Heft 2 (1990)**

**BRAUSE, H.: Beiträge zur Geodynamik des Saxothuringikums.** - 88 Seiten, 104 Abbildungen. € 12,27

### **Heft 3 (1991)**

**Autorenkollektiv: Beiträge zur Lagerstättengeologie im Raum Erzgebirge/Vogtland. - Tagung Ehrenfriedersdorf 1988.** -76 Seiten, 72 Abbildungen. € 12,27

### **Heft 4 (1992)**

**WOLF, L. & SCHUBERT, G.: Die spättertiären bis elstereiszeitlichen Terrassen der Elbe und ihrer Nebenflüsse und die Gliederung der Elster-Kaltzeit in Sachsen.** - Außerdem weitere Arbeiten zur Geologie und Lagerstättengeologie Sachsens. - Außerdem weitere Arbeiten zur Geologie und Lagerstättengeologie Sachsens,. 72 Seiten. 40 Abbildungen, Karten und Tabellenbeilagen. € 12,27

### **Heft 5 (1995)**

**Autorenkollektiv: Geowissenschaftliche Karten und Kartierung im Freistaat Sachsen.** - 81 Seiten, 40 Abbildungen. € 12,27

### **Heft 6 (1996)**

**Autorenkollektiv: Geophysik in Sachsen:** - 128 Seiten, 77 Abbildungen, Kartenbeilage SÜK 500. € 17,90

### **Heft 7 (1997)**

**KUSCHKA, E.: Atlas der Hydrothermalite des Vogtlandes, Erzgebirges und Granulitgebirges.** - 151 Seiten, 27 Abbildungen, 1 Tabelle, 113 Mineralisationsschemata. € 15,34

### **Heft 8 (1998)**

**Autorenkollektiv: Beiträge und Berichte zum Jubiläumsjahr „125 Jahre amtliche Geologie in Sachsen“.** - 65 Seiten, 52 Abbildungen, 3 Tabellen. € 12,27

### **Heft 9 (2000)**

**STORCH, K. v.; JORDAN, H.; GLÄSER, W.; ABRAHAM, T.; GRIMM, R. & MÜLLER, B.: Mineral- und Thermalwässer in Sachsen.** - II + 263 Seiten, 184 Abbildungen, 82 Tabellen € 12,78

### **Heft 10(2001)**

**Autorenkollektiv: Beiträge zum Grundgebirge in der Lausitz.** - 91 Seiten, 42 Abbildungen, 6 Tafeln, 1 Anlage, 6 Tabellen € 7,67

### **Heft 11 (2001)**

**KUSCHKA, E.: Zur Tektonik, Verbreitung und Minerogenie sächsischer hydrothermalen Mineralgänge.** - 183 Seiten, 70 Abbildungen, 6 Tabellen, 1 Anlage € 12,50



Wir sind an Ihrer Meinung über die Veröffentlichungen des Sächsischen Landesamtes für Umwelt und Geologie (LfUG) interessiert.

Bitte faxen Sie den nachfolgenden Fragebogen ausgefüllt zurück an das

FAX

Sächsisches Landesamt für Umwelt und Geologie  
Öffentlichkeitsarbeit  
Zur Wetterwarte 11

Tel.: 0351/8928352  
Fax: 0351/8928225  
Email: [Abteilung2@lfug.smul.sachsen.de](mailto:Abteilung2@lfug.smul.sachsen.de)

01109 Dresden

Fragebogen

1. Wie ist der Titel der Veröffentlichung?

.....  
.....

2. Wie sind Sie auf die Veröffentlichung aufmerksam geworden?

.....  
.....

3. Zu welcher der folgenden Zielgruppen gehören Sie?

- |   |   |
|---|---|
| <input type="checkbox"/> Behörden                 | <input type="checkbox"/> Parteien       |
| <input type="checkbox"/> öffentliche Bibliotheken | <input type="checkbox"/> Museen         |
| <input type="checkbox"/> Hochschulen              | <input type="checkbox"/> Verbände       |
| <input type="checkbox"/> Schulen                  | <input type="checkbox"/> Vereine        |
| <input type="checkbox"/> Institute                | <input type="checkbox"/> Privatpersonen |
| <input type="checkbox"/> Betriebe                 | <input type="checkbox"/> Ingenieurbüros |
| <input type="checkbox"/> Sonstige                 |   |

4. Wie nutzen Sie die Veröffentlichungen des LfUG?

- Im Beruf    in der Ausbildung    privat

5. Sind Sie mit dem Informationsgehalt zufrieden?\*

<input type="checkbox"/>	<input type="checkbox"/>	<input type="checkbox"/>	<input type="checkbox"/>	<input type="checkbox"/>	<input type="checkbox"/>
1	2	3	4	5	6

6. Wie beurteilen Sie das Layout und die optische Darstellung der Veröffentlichung?\*

<input type="checkbox"/>	<input type="checkbox"/>	<input type="checkbox"/>	<input type="checkbox"/>	<input type="checkbox"/>	<input type="checkbox"/>
1	2	3	4	5	6

7. Ist der fachliche Inhalt aussagefähig dargestellt?\*

<input type="checkbox"/>	<input type="checkbox"/>	<input type="checkbox"/>	<input type="checkbox"/>	<input type="checkbox"/>	<input type="checkbox"/>
1	2	3	4	5	6

8. Wie ist Ihr Gesamteindruck?\*

<input type="checkbox"/>	<input type="checkbox"/>	<input type="checkbox"/>	<input type="checkbox"/>	<input type="checkbox"/>	<input type="checkbox"/>
1	2	3	4	5	6

9. Welche Themenbereiche sind in der Veröffentlichung zu kurz gekommen?

.....  
.....  
.....

10. Ihre Meinung, Verbesserungsvorschläge, Kritik oder Lob!

.....  
.....  
.....

11. Möchten Sie über vergleichbare Veröffentlichungen des LfUG informiert werden?

- ja                       nein

Falls ja, werden Sie automatisch in den Verteiler der Materialienreihe aufgenommen. Dazu bitte Ihren Namen und Adresse unten angeben. Die Angaben werden vertraulich behandelt.

Jeder ausgefüllte Fragebogen trägt zur Verbesserung der Veröffentlichungen des LfUG bei.

Wir bedanken uns für die Beantwortung der Fragen.

\* Erläuterungen:

- |                  |                 |
|------------------|-----------------|
| 1 = sehr gut     | 4 = ausreichend |
| 2 = gut          | 5 = mangelhaft  |
| 3 = befriedigend | 6 = ungenügend  |

Name: \_\_\_\_\_

Vorname: \_\_\_\_\_

Straße Nummer: \_\_\_\_\_

Postleitzahl Wohnort: \_\_\_\_\_

Telefon: \_\_\_\_\_

email: \_\_\_\_\_

Fax: \_\_\_\_\_



